



ИНСТИТУТ ЯДЕРНОЙ ФИЗИКИ СО АН СССР

21

Э.А. Кураев, Н.П. Меренков, В.С. Фадин

КОМПТОНОВСКИЙ ТЕНЗОР
С ТЯЖЕЛЫМ ФОТОНОМ

ПРЕПРИНТ 86-39



НОВОСИБИРСК
1986

КОМПТОНОВСКИЙ ТЕНЗОР С ТЯЖЕЛЫМ ФОТОНОМ

Э.А.Кураев, Н.П.Меренков, В.С.Фадин

АННОТАЦИЯ

Получен вклад однопетлевых поправок в квадрат матричного элемента процесса $e + \gamma^* \rightarrow e + \gamma$, просуммированный по поляризациям всех частиц, кроме тяжелого фотона γ^* , в случае, когда виртуальность фотона и передача импульса между электронами велика по сравнению с массой электрона. При этом удержаны все члены, вклад которых в сечение не исчезает при стремлении массы электрона к нулю.

В этой работе вычислен тензор, представляющий квадрат матричного элемента для процесса тормозного излучения при столкновении электрона с поляризованным тяжелым фотоном

$$\gamma^*(q) + e(p_1) \rightarrow \gamma(k) + e(p_2), \quad q^2 < 0, \quad p_1^2 = p_2^2 = m^2, \quad k^2 = 0, \quad (I)$$

просуммированный по поляризациям других частиц. При расчете наряду с борновским вкладом принимается во внимание также вклад однопетлевых поправок электромагнитного происхождения. Полученный тензор будет в дальнейшем использован нами для вычисления радиационных поправок к процессу тормозного излучения при рассеянии ультраквантового электрона на ядре.

Очевидно, это далеко не единственное приложение рассматриваемого тензора, если учесть, что аналитическое продолжение его описывает процесс

$$e^+(p_+) + e^-(p_-) \rightarrow \gamma^*(q) + \gamma(k), \quad (2)$$

$$\gamma^*(q) \rightarrow e^+(p_+) + e^-(p_-) + \gamma(k). \quad (3)$$

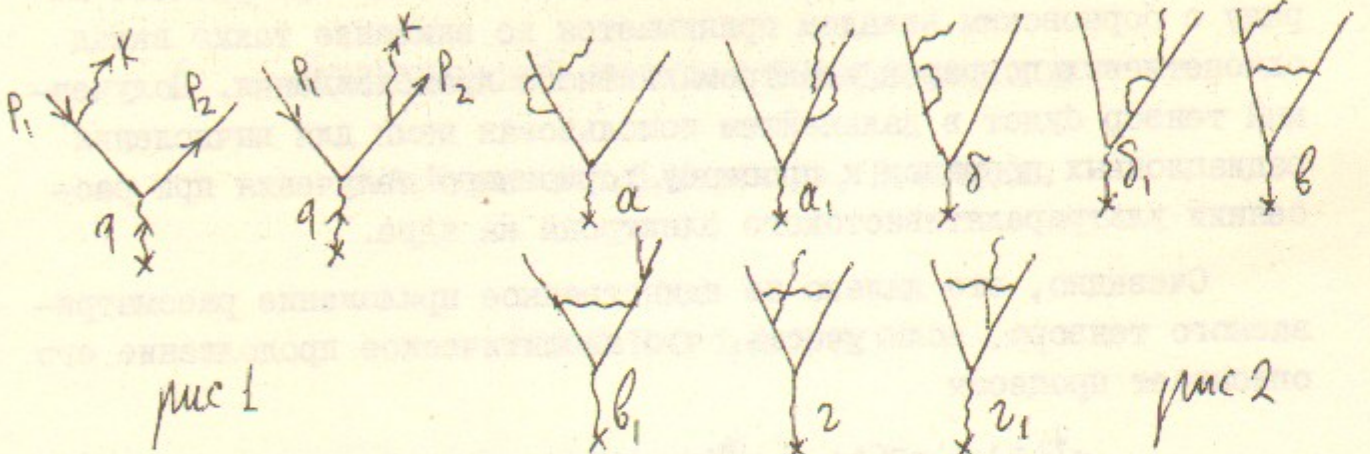
Определим тензор $K_{\rho\sigma}$ как просуммированное по спиновым состояниям реального фотона и фермионов произведение матричного элемента M_ρ процесса (I) и сопряженной ему величины M_σ^* , взятое с множителем $(8\pi\alpha)^{-2}$ (индексы ρ, σ описывают спиновое состояние тяжелого фотона):

$$K_{\rho\sigma} = (8\pi\alpha)^{-2} \sum_{cm} M_\rho^{e\gamma^* \rightarrow e'\gamma} (M_\sigma^{e\gamma^* \rightarrow e'\gamma})^*. \quad (4)$$

Отсутствие в литературе замкнутого выражения для величины (4) в однопетлевом приближении с одной стороны и необходимость знания её для различных приложений с другой, послужили причиной написания настоящей работы. Структура работы такова. Ниже мы выясняем общую структуру тензора, излагаем метод расчета, приводим результат и обсуждаем его. В заключение мы рассматриваем процесс тормозного излучения при рассеянии ультраквантового электрона на ядре и обсуждаем работу П.И.Фомина [1] посвященную этому вопросу. Метод вычисления петлевых интегралов и их сводка даны в приложении А, детали вычислений приведены в приложении Б.

Матричный элемент M_g , сопоставляемый диаграммам Фейнмана, изображенным на рис. I, 2, имеет вид

$$M_g = M_{0g} + M_{1g} = -i\pi \alpha \bar{U}(P_2) \left(O_{g\mu}^{(0)} + \frac{\lambda}{4\pi} O_{g\mu}^{(1)} \right) U(P_1) e^M(k). \quad (5)$$



Вклад борновских диаграмм (рис. I) отвечает первому слагаемому в правой части (5):

$$O_{g\mu}^{(0)} = \frac{1}{t} \gamma_g (P_2 - q + m) \gamma_\mu + \frac{1}{S} \gamma_\mu (P_1 + q + m) \gamma_g. \quad (6)$$

Мы используем следующие обозначения для инвариантов:

$$S = (P_2 + k)^2 - m^2, t = (P - k)^2 - m^2, U = (P_1 - P_2)^2, S + t + U = q^2 \quad (7)$$

и предполагаем выполненные условия $|U| \gg m^2, |q^2| \gg m^2$. Вследствие калибровочной инвариантности величина $O_{g\mu}^{(0)}$ удовлетворяет условию поперечности по обоим векторным индексам:

$$\bar{U}(P_2) O_{g\mu}^{(0)} U(P_1) q^\mu = 0, \bar{U}(P_2) O_{g\mu}^{(0)} U(P_1) K^\mu = 0. \quad (8)$$

Величина $O_{g\mu}^{(1)}$ представляет однопетлевые поправки (Рис. 2а-г). Для примера приведем вклады в величину $O_{g\mu}^{(1)}$ от диаграмм

$$O_{g\mu}^{(1)}|_{2a} = \int \frac{d^4 k}{i\pi^2} \frac{\gamma_g (P_2 - q + m) \gamma_\mu (P_1 - k + m) \gamma^\lambda}{t} \frac{(0)(1)(q)}{(0)(1)(q)}, \quad (9a)$$

$$O_{g\mu}^{(1)}|_{2b} = \int \frac{d^4 k}{i\pi^2} \frac{\gamma_\lambda (P_2 - k + m) \gamma_g (P_2 - q - k + m) \gamma^\lambda}{t} \frac{(P_2 - q + m) \gamma_\mu}{t}, \quad (9b)$$

$$O_{g\mu}^{(1)}|_{2c} = \int \frac{d^4 k}{i\pi^2} \frac{\gamma_\lambda (P_2 - k + m) \gamma_g (P_2 - q - k + m) \gamma_\mu (P_1 - k + m) \gamma^\lambda}{t} \frac{(0)(1)(2)(q)}{(0)(1)(2)(q)}, \quad (9c)$$

где введены обозначения:

$$(0) = k^2 - \lambda^2, (1) = (P_1 - k)^2 - m^2, (2) = (P_2 - k)^2 - m^2, (q) = (P_2 - q - k)^2 - m^2.$$

Остальные вклады пишутся в полной аналогии с (9).

В однопетлевом (λ^3) приближении тензор представляется в виде

$$K_{g\sigma} = B_{g\sigma} + \frac{\lambda}{4\pi} (T_{g\sigma} + T_{\sigma g}^*). \quad (10)$$

Из (4), (5) получаем для вклада борновских диаграмм (рис. I):

$$B_{g\sigma} = -\frac{1}{t} \bar{b}_p (P_2 + m) O_{g\mu}^{(0)} (P_1 + m) \tilde{O}_{g\mu}^{(0)}, \quad (II)$$

где $\tilde{O}_{g\mu}^{(0)}$ отличается от $O_{g\mu}^{(0)}$ (6) обратным порядком матриц Дирака и заменой $\sigma \rightarrow \tilde{\sigma}$. Легко видеть, используя (8), что борновский тензор удовлетворяет условию поперечности по обоим индексам:

$$B_{g\sigma} q_\sigma = 0, B_{g\sigma} q_\sigma = 0$$

Поэтому он может быть представлен в виде

$$B_{g\sigma} = \tilde{g}_{g\sigma} B_g + \tilde{p}_{1g} \tilde{p}_{1\sigma} B_{11} + \tilde{p}_{2g} \tilde{p}_{2\sigma} B_{22} + \tilde{p}_{1g} \tilde{p}_{2\sigma} B_{12} + \tilde{p}_{2g} \tilde{p}_{1\sigma} B_{21}, \quad (12)$$

где тензорные структуры таковы:

$$\tilde{g}_{\rho\sigma} = g_{\rho\sigma} - \frac{q_1 q_\sigma}{q^2}, \quad \tilde{p}_{1\rho} = p_{1\rho} - q_1 \frac{p_1 q}{q^2}, \quad \tilde{p}_{2\rho} = p_{2\rho} - q_2 \frac{p_2 q}{q^2}. \quad (I3)$$

Коэффициенты при тензорных структурах определяются из (II) и имеют вид:

$$B_g = \frac{1}{st} [(s+u)^2 + (u+t)^2] - 2m^2 q^2 \left(\frac{1}{s^2} + \frac{1}{t^2} \right); \\ B_{12} = B_{21} = 0; \\ B_{11} = \frac{4q^2}{st} - \frac{8m^2}{s^2}; \quad B_{22} = \frac{4q^2}{st} - \frac{8m^2}{t^2}. \quad (I4)$$

При вычислении (I4) мы опустили слагаемые типа m^2/st , которые ни в какой области фазового пространства реального фотона не приводят к исчезающему в пределе $W \rightarrow 0$ вкладу в интегральное сечение процесса. Слагаемые же типа $m^2/t^2, m^2/s$ дают ненулевой вклад в кинематике, когда фотон излучается вдоль импульсов начального или конечного электронов.

Вклад однопетлевых диаграмм в (10)

$$T_{\rho\sigma} = -\frac{1}{4} \delta_p (p_2 + m) Q_{\rho\sigma}^{(1)} (p_1 + m) \tilde{O}_{\sigma\mu}^{(0)} \quad (I5)$$

нам удобно будет разбить на сумму двух членов

$$T_{\rho\sigma} = T_{\rho\sigma}^{(t)} + T_{\rho\sigma}^{(s)} \quad (I6)$$

один из которых, $T_{\rho\sigma}^{(t)}$, происходит от диаграмм рис. 2а, б, в, г, а второй, $T_{\rho\sigma}^{(s)}$, происходит от диаграмм рис. 2а, б, в, г, и, как можно проверить, пользуясь (I6) и явным видом вкладов (9) получается из первого с помощью кроссинговой замены:

$$p_1 \leftrightarrow -p_2, \quad 3 \rightarrow \rho, \quad 0 \rightarrow \sigma, \quad s+io \leftrightarrow t. \quad (I7)$$

Отметим, что вклады диаграмм рис. 2а, б, в, г в физической области рассматриваемого канала не имеют особенностей, а вклады диаграмм рис. 2а, б, в, г, имеют разрез по s . Минимальная добавка к s

в (I7) указывает, что мы находимся в верхней полуплоскости по s .

Каждый из вкладов $T_{\rho\sigma}^{(t)}$ и $T_{\rho\sigma}^{(s)}$ удовлетворяет в силу свойства борновской амплитуды (8) условию поперечности по одному из индексов, ρ , поэтому общий вид тензора $T_{\rho\sigma}^{(i)}$ следующий:

$$T_{\rho\sigma}^{(i)} = T_g^{(i)} \tilde{g}_{\rho\sigma} + T_{11}^{(i)} p_{1\rho} \tilde{p}_{1\sigma} + T_{22}^{(i)} p_{2\rho} \tilde{p}_{2\sigma} + T_{12}^{(i)} p_{1\rho} \tilde{p}_{2\sigma} + T_{21}^{(i)} p_{2\rho} \tilde{p}_{1\sigma} \\ + T_{q1}^{(i)} q_1 \tilde{p}_{1\sigma} + T_{q2}^{(i)} q_2 \tilde{p}_{2\sigma}, \quad T_{\rho\sigma}^{(i)} q_\rho = 0, \quad i=s,t. \quad (I8)$$

При этом, согласно (I7), имеем

$$T_g^{(s)} = \tilde{T}_g^{(t)}, \quad T_{11}^{(s)} = \tilde{T}_{22}^{(t)}, \quad T_{12}^{(s)} = \tilde{T}_{21}^{(t)}, \quad T_{q1}^{(s)} = -\tilde{T}_{q2}^{(t)}, \\ T_{q2}^{(s)} = -\tilde{T}_{q1}^{(t)}; \quad T_{21}^{(s)} = \tilde{T}_{12}^{(t)}, \quad T_{22}^{(s)} = \tilde{T}_{11}^{(t)}, \\ \tilde{T}(s, t, u) = T(t, s+io, u). \quad (I9)$$

Условие поперечности по индексу ρ : $T_{\rho\sigma} q_\rho = 0$ приводит к следующему соотношению для коэффициентов при тензорных структурах (I8):

$$-(t+u)(T_{12}^{(t)} + \tilde{T}_{21}^{(t)}) + (s+u)(T_{22}^{(t)} + \tilde{T}_{11}^{(t)}) + 2q^2(T_{q2}^{(t)} - \tilde{T}_{q1}^{(t)}) = 0. \quad (20)$$

Условие (20) мы использовали для контроля вычислений.

Однопетлевой вклад в тензор выражается через величины T_{ik} , связанные с $T_{ik}^{(t)}$ следующим образом:

$$T_g = T_g^{(t)} + \tilde{T}_g^{(t)}, \quad T_{11} = T_{11}^{(t)} + \tilde{T}_{22}^{(t)}, \quad T_{22} = T_{22}^{(t)} + \tilde{T}_{11}^{(t)}, \\ T_{12} = T_{12}^{(t)} + \tilde{T}_{21}^{(t)}, \quad T_{21} = T_{21}^{(t)} + \tilde{T}_{12}^{(t)}. \quad (21)$$

Из (21) следует:

$$\tilde{T}_g = T_g, \quad \tilde{T}_{11} = T_{22}, \quad \tilde{T}_{12} = T_{21}, \quad \tilde{T}(s+io, t, u) = T(t, s+io, u), \quad (22)$$

поэтому тензор определяется тремя независимыми величинами T_g , T_{11} , T_{12} , и имеет вид:

$$K_{gg} = \tilde{g}_{gg} \left(B_g + \frac{\alpha}{4\pi} (T_g + T_g^*) \right) + \tilde{P}_{1g} \tilde{P}_{1g} [B_{11} + \frac{\alpha}{4\pi} (T_{11} + T_{11}^*)] \quad (23)$$

$$+ \tilde{P}_{2g} \tilde{P}_{2g} [B_{22} + \frac{\alpha}{4\pi} (T_{22} + T_{22}^*)] + \frac{\alpha}{4\pi} [(T_{12} + T_{21}) \tilde{P}_{1g} \tilde{P}_{2g} + (T_{21} + T_{12}) \tilde{P}_{2g} \tilde{P}_{1g}]$$

Вычисление величин T_{11} , T_{12} , T_g с точностью до членов, дающих при $m \rightarrow 0$ нулевой вклад в сечение, проведено в Приложениях А, В. Отдельные слагаемые в окончательных выражениях для этих величин имеют нефизические особенности, отвечающие обращению в нуль переменных

$$\bar{t} = t + m^2, \bar{s} = s + m^2, \alpha = s + t, \beta = u + s, \gamma = u + t,$$

$$s_\alpha = s - \frac{m^2}{u} \alpha, t_\alpha = t - \frac{m^2}{u} \alpha. \quad (24)$$

В полном выражении для величин T эти особенности компенсируются. Для того, чтобы все такого рода компенсации были видны в явь, удобно ввести следующие функции:

$$G = (l_q - l_u)(l_q + l_u - 2l_t) + 2f(1) + 2f(1 - \frac{q^2}{u}) - 2f(1 - \frac{t}{q^2});$$

$$F = f(1 + \frac{t}{m^2}) - f(1);$$

$$N = 2l_t(l_q - l_u) - 2f(1 - \frac{q^2}{m^2}) - 2F;$$

$$Q = \frac{4c}{s}(1 - \frac{m^2}{s})F - 4f(\frac{m^2}{t})F; \quad (25)$$

$$R = \frac{u}{t_\alpha}(1 + \frac{m^2}{t_\alpha})N - \frac{2u^2}{t_\alpha} \left(\frac{1}{\alpha}(l_q - l_u) - \frac{1}{q^2}l_t \right);$$

$$n = \frac{m^2}{t} \left(\frac{t}{\bar{t}} l_t - 1 \right),$$

и соответствующие функции со значком "тильда", получающиеся из приведенных заменой $s+i0 \leftrightarrow t$. В (25) и ниже

$$f(x) = \int_0^\infty \frac{dt}{t} \ln(1-t), \quad (26)$$

$$l_t = \ln(-t/m^2), l_q = \ln(-q^2/m^2), l_u = \ln(-u/m^2), l_s = \ln(s-i0)/m^2.$$

Отметим, что полюсы по t_α , s_α имеют общее происхождение: они отвечают обращению в нуль величины $-K_\perp^2 = (stu - m^2 \alpha^2)/(u(u-4m^2))$, где K_\perp – составляющая 4-импульса K , перпендикулярная плоскости векторов P_1 , P_2 . В области малых $|t|$ в рамках принятой точности можно представить K_\perp^2 как $-stu/u$, а в области малых s как $-ts_\alpha/u$. Сокращение полюсов по t_α (s_α) обеспечивается поведением при малых $|t_\alpha|$ ($|s_\alpha|$) функций $N(\tilde{N})$:

$$N|_{t_\alpha \rightarrow 0} \approx \frac{2ut_\alpha}{m^2} \left[\frac{l_q - l_u}{\alpha} - \frac{l_t}{q^2} \right], \quad (27)$$

$$\tilde{N}|_{s_\alpha \rightarrow 0} \approx \frac{2us_\alpha}{m^2} \left[\frac{l_q - l_u}{\alpha} - \frac{l_s}{q^2} \right]. \quad (28)$$

Выражения для функций T_{11} , T_{12} , T_g таковы:

$$T_{11} = g \cdot B_{11} + \frac{2}{st} \left\{ -q^2 \left(1 + \frac{u^2}{s^2} \right) G - q^2 \left(2 + \frac{b^2}{t^2} \right) \tilde{G} + 2q^2 \left(\frac{b^2}{st} + \frac{2u}{\alpha} \right) (l_q - l_u) \right. \\ + \frac{4}{\alpha} (u^2 - bt) \left(\frac{q^2}{\alpha} (l_q - l_u) - 1 \right) + \frac{q^2 b^2}{c^2 t} (2c+t)(l_q - l_s) + \frac{q^2}{s} (2u-s)(l_q - l_t) \\ - 4u - 2q^2 + t - \frac{b^2}{c} + m^2 \left[-\frac{b}{t} (4l_t - 5) + 2 \left(\frac{(c+t)^2}{cs} - \frac{2c}{s} \right) l_s + \frac{4}{s} (2 + \frac{u}{c}) \right. \\ \left. + \frac{8t}{s} (\tilde{G} + \tilde{F} - \frac{1}{2} l_q^2 + \frac{1}{2} l_u^2) - \frac{2u}{s_\alpha} \tilde{N} - Q - \frac{b^2}{u^2} R - \tilde{R} + \frac{b}{t} n \right. \\ \left. - \frac{1}{cs} (2c^2 - u^2) \tilde{N} \right] \right\}; \quad (29)$$

$$T_{12} = \frac{2}{st} \left\{ \frac{q^2}{s^2} c(u-s) G + \frac{q^2}{t^2} (uq^2 - st) \tilde{G} - 2q^2 \left(\frac{uq^2}{st} + \frac{2u-s+t}{\alpha} \right) (l_q - l_u) \right. \\ - \frac{4}{\alpha} (u^2 - cs) \left(\frac{q^2}{\alpha} (l_q - l_u) - 1 \right) + \frac{q^2}{c^2} (2c+t) \left(s - \frac{u}{t} q^2 \right) (l_q - l_s) - \frac{q^2 c}{bs} (2u-s) (l_q - l_t) \\ + 8u + 3t - s + \frac{2}{c} us + m^2 \left[\frac{2}{Et} (ut + 2m^2 b) l_t + 2 \left(\frac{t}{s} + \frac{2c}{s} \right) l_s - \frac{1}{t} (u+2b) \right. \\ \left. \left. - \frac{1}{s} (u+4c) + \frac{2}{sa} c \tilde{N} + Q + \frac{b}{u} R + \frac{c}{u} \tilde{R} + \frac{1}{t} (s+b) n - \frac{u}{s} \tilde{n} \right] \right\}, \quad (30)$$

$$T_g = g B_g + \left\{ -\frac{1}{s} \left(\frac{u}{s} q^2 + \frac{1}{t} (2ub + s^2) \right) G + u \left(\frac{q^2}{st} - \frac{2}{\alpha} \right) (l_q - l_u) \right. \\ + \frac{c}{s} \left(\frac{3u}{b} - 1 \right) (l_q - l_t) + \frac{u-s^2}{2st} + \frac{m^2}{t^2} \left[\left(\frac{t}{E} (4b-u) - 2s \right) l_t - 2u + 4bf \right. \\ \left. \left. - 2q^2 (l_q^2 - l_u^2) + 2 \left(b + \frac{m^2}{E} s \right) F - bn \right] + (t \leftrightarrow s + i\delta) \right\}. \quad (31)$$

Входящие в (29-31) величины B_g , B_n есть борновские вклады в тензор (14), а величина g имеет вид:

$$g = 4 \ln \frac{\lambda}{m} (l_u - 1) - l_u^2 + 3l_q + \frac{\pi^2}{3} - \frac{9}{2}, \quad (32)$$

где λ - "масса" фотона.

Остальные величины определены в (24-26).

При фиксированном значении $\omega/\varepsilon_1 \sim \omega/\varepsilon_2 \sim 1$ минимальные значения $s, -t$ порядка m^2 :

$$(-t)_{\min} = 2kP_1 \Big|_{\bar{K} \parallel \bar{P}_1} \approx m^2 \frac{\omega}{\varepsilon_1}, \quad s_{\min} = 2kP_2 \Big|_{\bar{K} \parallel \bar{P}_2} = m^2 \frac{\omega}{\varepsilon_2}. \quad (33)$$

Отдельные слагаемые в (29-31) имеют полюсы по s, t второго и третьего порядка, не скомпенсированные степенями m^2 и m^4 соответственно. Эти полюсы сокращаются в полном выражении благодаря поведению функций G и \tilde{G} :

$$G \Big|_{s \ll |u|, |t|} \approx -\frac{2s}{u} (l_t - l_q + \frac{u}{t} (l_u - l_q)); \quad (34)$$

$$\tilde{G} \Big|_{|t| \ll |u|, s} \approx -\frac{2t}{u} (l_s - l_q + \frac{u}{s} (l_u - l_q)).$$

Отметим, что вся зависимость от дваждылогарифмических членов ($\sim l_q^2$), так же как и от "массы" фотона λ , содержится в множителе g , и имеет, таким образом, факторизованный вид. Дваждылогарифмические члены, не входящие в g , взаимно компенсируются.

Рассмотрим случай излучения мягких фотонов, когда

$$s \ll |u|, |t| \ll |u|, u \approx q^2. \quad (35)$$

В этом случае с точностью до членов, содержащих K , $\tilde{P}_1 = \tilde{P}_2$ и борновский вклад $B_{g\sigma}$ в тензор $K_{g\sigma}$ представляется в виде произведения токового тензора на множитель сопровождающего излучения:

$$B_{g\sigma} = - \left(\frac{P_1}{P_1 K} - \frac{P_2}{P_2 K} \right)^2 \left(\frac{1}{2} q^2 \tilde{g}_{g\sigma} + 2 \tilde{P}_{1g} \tilde{P}_{1\sigma} \right).$$

Представляет интерес вопрос об области применимости формул сопровождающего излучения в однопетлевой поправке. На первый взгляд может показаться, что для применимости нужно выполнение условий $s \ll m^2$, $|t| \ll m^2$. В.Н.Грибовым в квантовой электродинамике адронов было показано [2], что область применимости значительно шире, и ограничена, при выполнении (35), условием малости перпендикулярных к плоскости P_1, P_2 компонент 4-импульса фотона K ; в наших обозначениях

$$\left| \frac{st}{u} \right| \ll m_h^2 \quad (35a)$$

где M_h - характерная адронная масса.

Оказывается, что в нашем случае и условие (35a) оказывается лишним. Пользуясь явным видом коэффициентов (29) - (31) можно убедиться, что при выполнении условий (35) в однопетлевом приближении

$$K_{\rho\sigma} = B_{\rho\sigma} \left(1 + \frac{2\alpha}{\pi} F_1^{(2)} \right) = \quad (36)$$

$$= \left(\frac{1}{2} q^2 \tilde{g}_{\rho\sigma} + 2 \tilde{P}_1 \tilde{P}_{1\sigma} \right) F_1^2 \left[- \left(\frac{P_1}{P_1 K} - \frac{P_2}{P_2 K} \right)^2 \right],$$

где $F_1 = 1 + \frac{2}{\pi} F_1^{(2)}$ - дираковский формфактор электрона в однопетлевом приближении;

$$F_1^{(2)} = \frac{1}{4} g + \frac{1}{8} = \ln \frac{\lambda}{m} (\ell_q - 1) - \frac{1}{4} \ell_q^2 + \frac{3}{4} \ell_q + \frac{\pi^2}{12} - 1.$$

Следует заметить, что для отдельных коэффициентов T_{11} , T_{12} , T_{22} , T_{21} нет факторизационного соотношения типа (36) (оно нарушено для нелогарифмических членов в $F_1^{(2)}$), и для получения (36) следует использовать равенство $\tilde{P}_1 = \tilde{P}_2$ в мягкофотонном приближении.

В качестве одного из приложений рассмотрим процесс тормозного излучения при рассеянии электрона на ядре

$$e(p_1) + Y(\beta) \rightarrow e(p_2) + \gamma(k) + Y(\beta'). \quad (37)$$

Полученный нами тензор входит в сечение этого процесса в виде

$$\frac{d\sigma}{dy d\Omega_Y} = \frac{\lambda^2 y(1-y)\varepsilon_1^2}{2\pi(q^2)^2} \cdot \gamma \cdot \frac{\langle I_\rho I_\sigma^* \rangle}{M^2} \cdot K_{\rho\sigma}, \quad (38)$$

где $C = \cos \theta$, $\theta = \hat{P}_1, \hat{P}_2$ - угол рассеяния электрона в лабораторной системе, ε_1 , ε_2 - энергии начального и рассеянного электронов, $y = 1 - \frac{\varepsilon_2}{\varepsilon_1}$, γ - множитель, учитывающий отдачу ядра:

$$\gamma = \left(1 - \frac{\varepsilon_2 \varepsilon_1 (1-C)}{M(\varepsilon_1 - \varepsilon_2)} \right) \left[1 + \frac{\varepsilon_1}{M} (1-C_K) - \frac{\varepsilon_2}{M} (1-C_K) \right]^{-2}, \quad (39)$$

$$C_K = \cos(\hat{P}_2, \hat{k}), \quad C_K' = \cos(\hat{P}_1, \hat{k}),$$

M - масса ядра, $q^2 = (-P_1 + P_2 + k)^2$ - квадрат переданного ядру 4-импульса, $q^2 < 0$. Энергия фотона не предполагается малой по сравнению с энергией начального электрона ε_1 , которая, в свою очередь, предполагается большой по сравнению с энергией покоя электрона. Угол рассеяния электрона θ предполагается конечным:

$$\frac{w}{\varepsilon_1} = \left[y - \frac{\varepsilon_1(1-y)}{M}(1-C) \right] \left[1 + \frac{\varepsilon_1}{M}(1-C_K) - \frac{\varepsilon_2}{M}(1-C_K) \right]^{-1} \leq 1, \quad (40)$$

$$\varepsilon_1 \gg m, \quad \theta \sim 1.$$

Для случая, когда ядро есть протон, ток I_ρ определяется так:

$$I_\rho = \bar{U}(\beta') \Gamma_\rho U(\beta), \quad \Gamma_\rho = \gamma_F F_1(q^2) - \frac{F_2(q^2)}{4M} [q, \gamma_F]. \quad (41)$$

Величина $\langle I_\rho I_\sigma^* \rangle$ в случае неполяризованного протона имеет вид:

$$\begin{aligned} \langle I_\rho I_\sigma^* \rangle = & \frac{1}{4} \delta_P(\beta' + M) \Gamma_\rho (\beta + M) \Gamma_\sigma^* = 2 \left(\beta_\rho - \frac{1}{2} q_\rho \right) \left(\beta_\sigma - \frac{1}{2} q_\sigma \right) \left(F_1^2 \right. \\ & \left. - \frac{q^2}{4M^2} F_2^2 \right) + \frac{1}{2} q^2 (F_1 + F_2)^2 \left(g_{\rho\sigma} - \frac{1}{q^2} q_\rho q_\sigma \right). \end{aligned} \quad (42)$$

В этом случае сечение определяется вещественной частью тензора $K_{\rho\sigma}$, поскольку тензор $\langle I_\rho I_\sigma^* \rangle$ симметричен.

Сечение (38) содержит инфракрасную расходимость. Зависимость от "массы" фотона λ исчезает, если учесть процесс излучения дополнительного мягкого фотона в процессе тормозного излучения. Сечение такого процесса с энергией мягкого фотона, не превышающей некоторой величины $\Delta \varepsilon \ll \varepsilon_1$, равно

$$\frac{d\sigma^{eY \rightarrow eY\gamma(\gamma)}}{dy d\Omega} = \frac{\omega^3 y(1-y) \varepsilon_1^2 \gamma}{2\pi (q^2)^2} \cdot \frac{\langle I_q, I_\delta^* \rangle}{M^2} \beta^{g\sigma} \delta, \quad (43)$$

$$\delta = -\frac{4\pi d}{16\pi^3} \int \frac{d^3 k}{w} \left(\frac{p_1}{p_1 k} - \frac{p_2}{p_2 k} \right)^2, \quad w = (\vec{k}^2 + \lambda^2)^{1/2} < \Delta \varepsilon.$$

Входящие в δ интегралы вычислены, например, в [3]. В нашем приближении получаем

$$\delta = \frac{2}{\pi} \left[(\ell_u - 1) \ln \left(\frac{(\Delta\varepsilon)^2 m^2}{\lambda^2 \xi_1 \xi_2} \right) + \frac{1}{2} \ell_u^2 - \frac{1}{2} \ln^2 \left(\frac{\xi_1}{\xi_2} \right) - \frac{\pi^2}{3} - f(\cos^2 \frac{\varphi}{2}) \right]. \quad (44)$$

В результате, учет излучения дополнительного мягкого фотона сводится к тому, что в формуле (38) входящая в тензор $K_{\rho\sigma}$ величина β (см. (29) – (32)) должна быть изменена следующим образом:

$$\beta \rightarrow \tilde{\beta} = 2(\ell_u - 1) \ln \left(\frac{(\Delta\varepsilon)^2}{\xi_1 \xi_2} \right) + 3\ell_u - \ln^2 \left(\frac{\xi_2}{\xi_1} \right) - \frac{\pi^2}{3} - \frac{9}{2} - 2f(\cos^2 \frac{\varphi}{2}). \quad (45)$$

Кроме рассмотренных здесь вкладов в сечение неупругого рассеяния электрона на ядре в однопетлевом приближении есть и другие: поляризация вакуума, двухфотонный обмен, излучение дополнительного ~~жесткого~~ фотона, рождение лептонной пары. Эти вклады, а также вклады высших порядков теории возмущений в приближении главных логарифмов будут рассмотрены в другом месте.

Радиационные поправки к сечению тормозного излучения рассматривались в 1958 г. в работе П.И.Фомина [1]. Полученное им с помощью метода "оператора массы" сравнительно компактное интегральное представление для сечения к сожалению неудобно для практического использования (предполагает дифференцирование и выделение реальных и мнимых частей сложных выражений) и содержит опечатки, поскольку приводимый в работе предельный случай не согласуется с расчетом в ультрарелятивистском пределе.

Нам приятно поблагодарить за помощь в использовании ЭВМ и интерес к работе А.Ващенко, А.Г.Грозина, А.Перышкина.

ПРИЛОЖЕНИЕ А.

ВЫЧИСЛЕНИЕ ПЕТЛЕВЫХ ИНТЕГРАЛОВ

Здесь мы изложим метод вычисления векторных и тензорных интегралов по 4-импульсу петли. В нем существенно используются следующие величины, составленные из векторов 4-импульсов частиц (1):

$$q_{\perp} = q + \frac{u(u+s) - 2m^2(u+q^2)}{u(u-4m^2)} p_1 - \frac{u(u+t) - 2m^2(q^2+u)}{u(u-4m^2)} p_2,$$

$$p_{1\perp} = p_1 + \frac{u(s+u) - 2m^2(q^2+u)}{(s+u)^2 - 4m^2q^2} q - \frac{uq^2 - st - 4m^2q^2}{(s+u)^2 - 4m^2q^2} p_2, \quad (\text{A.1})$$

$$p_{2\perp} = p_2 - \frac{u(u+t) - 2m^2(q^2+u)}{(u+t)^2 - 4m^2q^2} q - \frac{q^2u - st - 4m^2q^2}{(u+t)^2 - 4m^2q^2} p_1,$$

$$g_{\mu\nu}^{tr} = g_{\mu\nu} - \frac{(p_1+p_2)_\mu(p_1+p_2)_\nu}{4m^2-u} - \frac{(p_1-p_2)_\mu(p_1-p_2)_\nu}{u} - \frac{1}{q^2} q_{\perp\mu} q_{\perp\nu}.$$

Со свойствами

$$p_{1\perp} p_2 = p_{1\perp} q = 0, \quad p_{1\perp}^2 = \frac{-d}{2} [(s+u)^2 - 4m^2q^2]^{-1}, \quad d = 2(stu - m^2(s+t)^2),$$

$$p_{2\perp} p_1 = p_{2\perp} q = 0, \quad p_{2\perp}^2 = -\frac{d}{2} [(u+t)^2 - 4m^2q^2]^{-1},$$

$$2p_{1\perp} p_{2\perp} = -d [st - uq^2 + 4m^2q^2] [(u+t)^2 - 4m^2q^2]^{-1} [(u+s)^2 - 4m^2q^2]^{-1}, \quad (\text{A.2})$$

$$q_{\perp} p_1 = q_{\perp} p_2 = 0, \quad q_{\perp}^2 = -\frac{d}{2} [u(u-4m^2)]^{-1},$$

$$g_{\mu\nu}^{tr} p_1^\mu = g_{\mu\nu}^{tr} p_2^\nu = g_{\mu\nu}^{tr} q^\nu = 0, \quad g_{\mu\nu}^{tr} g^{\mu\nu} = 1,$$

$$2p_{1\perp} q_1 = \frac{-d[u(u+s) - 2m^2(q^2+u)]}{u(u-4m^2)[(s+u)^2 - 4m^2q^2]}, \quad 2p_{2\perp} q_1 = \frac{d[u(u+t) - 2m^2(q^2+u)]}{u(u-4m^2)[(u+t)^2 - 4m^2q^2]}.$$

Начнем рассмотрение с векторных интегралов, происходящих из диаграммы Фейнмана, изображенной на рис.2г (бокс-диаграммы):

$$I_\mu = \int \frac{d^4 k}{i\pi^2} \frac{k_\mu}{(0)(1)(2)(q)} = I_1 p_{1\mu} + I_2 p_{2\mu} + I_q q_\mu, \quad (\text{A.3})$$

$$(0) = k^2 - \lambda^2, \quad (1) = (p_1 - k)^2 - m^2, \quad (2) = (p_2 - k)^2 - m^2, \quad (q) = (p_2 - q - k)^2 - m^2.$$

Для вычисления коэффициентов при векторах p_1, p_2, q в правой части (A.3) можно воспользоваться свойствами векторов $p_{1\perp}, p_{2\perp}, q_\perp$, (A.2). Умножая правую и левую части (A.3) на $p_{1\perp}, p_{2\perp}, q_\perp$ и выражая образующиеся в числителе подинтегрального выражения в левой части (A.3) скалярные произведения в терминах знаменателей, легко выразить эти коэффициенты через скалярные интегралы с тремя и четырьмя знаменателями:

$$\begin{aligned} I_1 &= \frac{1}{d} \left\{ (ut - sq^2) \cdot i + ((u+s)^2 - 4m^2q^2) \cdot j + \frac{1}{t} F \cdot [t(s-u) + 2m^2(t+s)] + Y \cdot [-u(u+s) \right. \\ &\quad \left. + 2m^2(u+q^2)] \right\}, \\ I_2 &= \frac{1}{d} \left\{ (su - tq^2) \cdot i + (ts - uq^2 + 4m^2q^2) \cdot j + \frac{1}{t} F \cdot [t(u+t) - 2m^2(s+t)] + Y \cdot [u(u+t) \right. \\ &\quad \left. - 2m^2(q^2+u)] \right\}, \\ I_q &= \frac{1}{d} \left\{ u(t-s) \cdot i + (u(u+s) - 2m^2(q^2+u)) \cdot j + \frac{1}{t} F \cdot [ut + 2m^2(s+t)] - Y \cdot u(u-4m^2) \right\}, \end{aligned} \quad (\text{A.4})$$

где

$$Y = Z - t \cdot I, \quad (\text{A.5})$$

$$i = \int \frac{d^4 k}{i\pi^2} \cdot \frac{1}{(1)(2)(q)}; \quad j = \int \frac{d^4 k}{i\pi^2} \cdot \frac{1}{(0)(2)(q)}; \quad \frac{1}{t} F = \int \frac{d^4 k}{i\pi^2} \cdot \frac{1}{(0)(1)(2)(q)}.$$

$$\cdot \frac{1}{(0)(1)(q)}; \quad Z = \int \frac{d^4 k}{i\pi^2} \cdot \frac{1}{(0)(1)(2)}; \quad I = \int \frac{d^4 k}{i\pi^2} \cdot \frac{1}{(0)(1)(2)(q)}. \quad (\text{A.6})$$

Ниже мы приведем результат вычисления скалярных интегралов (A.6) с необходимой нам точностью.

Тензорный интеграл, происходящий из бокс-диаграммы рис.2г, есть симметричный тензор второго ранга, построенный из метрического тензора и векторов P_1, P_2, q :

$$I_{\mu\nu} = \int \frac{d^4 K}{i\pi^2} \cdot \frac{K_\mu K_\nu}{(0)(1)(2)(q)} = I_g g_{\mu\nu} + I_{11} P_{1\mu} P_{1\nu} + I_{22} P_{2\mu} P_{2\nu} + I_{qq} q_\mu q_\nu + I_{12} (P_{1\mu} P_{2\nu} + P_{2\mu} P_{1\nu}) + I_{1q} (P_{1\mu} q_\nu + P_{1\nu} q_\mu) + I_{2q} (P_{2\mu} q_\nu + P_{2\nu} q_\mu). \quad (A.7)$$

Сворачивая обе части (A.7) с $g_{\mu\nu}^{tr}$ и тензорами второго ранга, построенными из векторов $P_{1\perp}, P_{2\perp}, q_\perp$, получаем выражения для коэффициентов при тензорных структурах в правой части (A.6) через скалярные и векторные интегралы с четырьмя (A.3) и тремя знаменателями

$$\begin{aligned} i_\mu &= \int \frac{d^4 K}{i\pi^2} \cdot \frac{K_\mu}{(1)(2)(q)} = i_1 P_{1\mu} + i_2 P_{2\mu} + i_q q_\mu; \quad \eta_\mu = \int \frac{d^4 K}{i\pi^2} \frac{K_\mu}{(0)(1)(q)} = \eta_1 P_{1\mu} + \eta_2 (P_2 \cdot q)_\mu; \\ z_\mu &= \int \frac{d^4 K}{i\pi^2} \frac{K_\mu}{(0)(4)(2)} = z_1 (P_1 + P_2)_\mu; \quad j_\mu = j_2 P_{2\mu} + j_q \cdot q_\mu = \int \frac{d^4 K}{i\pi^2} \frac{K_\mu}{(0)(2)(q)}. \end{aligned} \quad (A.8)$$

Результат таков

$$\begin{aligned} I_g &= \frac{1}{2} (i + t I_q); \quad I_{11} = \frac{1}{d} \left\{ (s+u)^2 - 4m^2 q^2 \right\} (i + t I_q) + (ut - sq^2) i + (t(s-u) + 2m^2(s+t)) \eta_1 - (u(s+u) - 2m^2(q^2+u)) (z_1 - t I_1); \quad I_{12} = d^{-1} \left\{ (t+u)^2 - 4m^2 q^2 \right\} (i + t I_q) + (us - tq^2) i_2 - (uq^2 - st - 4m^2 q^2) j_2 + (t(t+u) - 2m^2(s+t)) \eta_2 + (u(u+t) - 2m^2(q^2+u)) (z_1 - t I_2); \\ I_{22} &= \frac{1}{d} \left\{ (u(u+t) + 2m^2(q^2+u)) (i + 2t I_q) + (us - tq^2) i_q - (uq^2 - st - 4m^2 q^2) j_q - (t(u+t) - 2m^2(s+t)) \eta_2 \right\}; \quad I_{2q} = \frac{1}{d} \left\{ (u(u+t) + 2m^2(q^2+u)) (i + 2t I_q) + (us - tq^2) i_q - (uq^2 - st - 4m^2 q^2) j_q - (t(u+t) - 2m^2(s+t)) \eta_2 \right\}; \quad I_{12} = \frac{1}{d} \left\{ -(uq^2 - st - 4m^2 q^2) (i + t I_q) + (us - tq^2) i_1 + (t(u+t) - 2m^2(s+t)) \eta_1 + (u(u+t) - 2m^2(q^2+u)) (z_1 - t I_1) \right\}; \\ I_{1q} &= \frac{1}{d} \left\{ (u(s+u) - 2m^2(q^2+u)) (i + t I_q) + (ut - sq^2) i_q + ((s+u)^2 - 4m^2 q^2) j_q - (t(s-u) + 2m^2(s+t)) \eta_2 \right\}. \end{aligned} \quad (A.9)$$

Приведем выражение для коэффициентов при векторах P_1, P_2, q в правой части (A.8) для векторных интегралов с тремя знаменателями

$$\begin{aligned} i_1 &= \frac{q^2}{\alpha} i + \frac{q^2 u}{\alpha^2} l_u - \frac{2q^2}{\alpha^2} l_q + \frac{2}{\alpha}; \quad i_1 + i_2 = i, \\ i_q &= \frac{u}{\alpha} i + \frac{2u}{\alpha^2} l_u - \frac{(q^2 + u)}{\alpha^2} l_q + \frac{2}{\alpha}; \\ j_2 &= -\frac{t}{\beta} j + \frac{2q^2}{\beta^2} l_q - \frac{t(q^2 + t)}{\beta^2} l_t; \\ j_q &= -\frac{1}{\beta} l_q + \frac{t}{\beta} l_t; \\ \eta_1 &= \frac{1}{t} \left[\frac{t+2m^2}{t} F - 2l_t + 2 \right]; \quad \eta_2 = \frac{1}{t} \left[-\frac{2m^2}{t} F + \frac{2m^2 + t}{t} l_t - 2 \right]; \\ z_1 &= z_2 = \frac{1}{u} l_u; \end{aligned} \quad (A.10)$$

здесь и в дальнейшем использованы обозначения

$$a = s+t, \quad b = s+u, \quad \bar{t} = t+m^2; \quad (A.11)$$

$$l_q = \ln(-q^2/m^2), \quad l_u = \ln(-u/m^2), \quad l_t = \ln(-t/m^2),$$

и предполагается, что

$$-u \gg m^2, \quad -q^2 \gg m^2. \quad (A.12)$$

Предположений о величинности $|t|$ и s при этом не делается.

При вычислении вкладов диаграммы рис.2в (вершинного типа), а также вкладов от бокс-диаграммы (рис.2г), содержащих в чисителях подинтегрального выражения третью степень импульса петли, возникают тензорные (2-го ранга) интегралы с тремя знаменателями:

$$\begin{aligned} i_{\mu\nu} &= \int \frac{d^4 K}{i\pi^2} \frac{K_\mu K_\nu}{(1)(2)(q)} = i_g g_{\mu\nu} + i_{11} P_{1\mu} P_{1\nu} + i_{22} P_{2\mu} P_{2\nu} + i_{qq} q_\mu q_\nu + \\ &+ i_{12} (P_{1\mu} P_{2\nu} + P_{1\nu} P_{2\mu}) + i_{1q} (P_{1\mu} q_\nu + P_{1\nu} q_\mu) + i_{2q} (P_{2\mu} q_\nu + P_{2\nu} q_\mu); \end{aligned} \quad (A.13)$$

$$j_{\mu\nu} = \int \frac{d^4 K}{i\pi^2} \frac{\gamma_\mu \gamma_\nu}{(0)(2)(q)} = j_g g_{\mu\nu} + j_{22} P_{2\mu} P_{2\nu} + j_{qq} q_\mu q_\nu + j_{2q} (P_{2\mu} q_\nu + P_{2\nu} q_\mu);$$

$$\begin{aligned} n_{\mu\nu} &= \int \frac{d^4 K}{i\pi^2} \frac{\gamma_\mu \gamma_\nu}{(0)(1)(q)} = n_g g_{\mu\nu} + n_{11} P_{1\mu} P_{1\nu} + n_{22} (P_2 - q)_\mu (P_2 - q)_\nu \\ &\quad - n_{1q} (P_{1\mu} (P_2 - q)_\nu + P_{1\nu} (P_2 - q)_\mu). \end{aligned}$$

Вычисление дает

$$i_{11} = \frac{q^4}{a^2} i + \frac{1}{2a^3} (3q^4 + 4uq^2 - u^2) \ell_u - \frac{3q^4}{a^3} \ell_q + \frac{4q^2 - u}{a^2};$$

$$i_{22} = \frac{u^2}{a^2} i + \frac{1}{2a^3} (-q^4 + 4uq^2 + 3u^2) \ell_u + \frac{q^2}{a^3} (q^2 - 4u) \ell_q + \frac{3}{a^2} u;$$

$$i_{12} = -\frac{u}{a^2} q^2 i - \frac{1}{2a^3} (q^4 + 4uq^2 + u^2) \ell_u + \frac{q^2}{a^3} (q^2 + 2u) \ell_q - \frac{1}{a^2} (2q^2 + u);$$

$$i_{99} = \frac{u^2}{a^2} i + \frac{3u^2}{a^3} \ell_u + \frac{1}{2a^3} (q^4 - 4uq^2 - 3u^2) \ell_q + \frac{1}{a^2} (4u - q^2);$$

$$i_{1q} = \frac{u}{a^2} q^2 i + \frac{u}{2a^3} (5q^2 + u) \ell_u - \frac{q^2}{2a^3} (q^2 + 5u) \ell_q + \frac{3}{2a^2} (q^2 + u);$$

$$i_{2q} = -\frac{u^2}{a^2} i - \frac{1}{2a^3} u(q^2 + 5u) \ell_u + \frac{1}{2a^3} (-q^4 + 5uq^2 + 2u^2) \ell_q + \frac{1}{2a^2} (q^2 - 7u);$$

$$i_g = \frac{u}{4a} \ell_u - \frac{q^2}{4a} \ell_q + \frac{1}{4} L + \frac{3}{8};$$

$$j_g = \frac{t^3}{48T^2} \ell_t - \frac{q^2}{48} \ell_q + \frac{1}{4} L + \frac{3}{8} + \frac{tm^2}{48T};$$

$$j_{qq} = \frac{-t^2}{28T^2} \ell_t + \frac{1}{28} \ell_q - \frac{m^2}{28T};$$

$$j_{2q} = \frac{(q^2 - 2t)t^2}{28^2 T^2} \ell_t - \frac{(q^2 - 2t)}{28^2} \ell_q - \frac{1}{28} + \frac{(q^2 - 2t)m^2}{28^2 T};$$

$$\begin{aligned} j_{22} &= \left[\frac{t^2(q^2 + t)}{8^3 T} - \frac{t^2}{28^3 T^2} (q^4 - 2q^2 t - t^2) \right] \ell_t + \frac{q^2}{8^3} (q^2 - 4t) \ell_q + \frac{q^2 + t}{28^2} \\ &\quad - \frac{m^2}{28^3 T} (q^4 - 2q^2 t - t^2) + \frac{t^2}{8^2} j; \end{aligned}$$

$$n_g = \frac{m^2}{2t} F - \frac{1}{4t} (2m^2 + t) \ell_t + \frac{1}{4} L + \frac{3}{8};$$

$$n_{11} = \frac{1}{t} \left[\frac{t^2 + 6tm^2 + 6m^4}{t^2} F - \frac{3(2m^2 + t)}{t} \ell_t + \frac{3}{2t} (3t + 4m^2) \right]; \quad (\text{A.14})$$

$$n_{22} = \frac{1}{t} \left[\frac{6m^4}{t^2} F + \frac{1}{2t^2} (t^3 - 4t^2 m^2 - 18tm^4 - 12m^6) \ell_t - \frac{1}{2t^2} (2t^2 - 9tm^2 - 12m^4) \right];$$

$$n_{1q} = \frac{1}{t} \left[\frac{3m^2}{t^2} (2m^2 + t) F - \frac{1}{2t^2} (t^2 + 12tm^2 + 12m^4) \ell_t + \frac{3}{2t} (t + 4m^2) \right].$$

Величина $L = \ln \lambda/m^2$ есть логарифм ультрафиолетового обрезания. После проведения процедуры перенормировки:

$$L \rightarrow 2 \ln \frac{m^2}{\lambda^2} - \frac{9}{2},$$

где λ - "масса" фотона.

Вычисление скалярных интегралов мы начнем с рассмотрения

$$i = \int \frac{d^4 K}{i\pi^2} \cdot \frac{1}{(1)(2)(q)}.$$

"Объединяя" знаменатели с помощью фейнмановской параметризации и выполняя интегрирование по 4-импульсам петли приведем его к виду

$$i = - \int_0^1 dx_3 \int_0^{1-x_3} \frac{dx_2}{m^2 - q^2 x_2 x_3 - u x_3 (1-x_2-x_3)} = \frac{1}{(q^2-u)} \int_0^1 \frac{dx_3}{x_3} \ln \frac{1 - \frac{q^2}{m^2} x_3 (1-x_3)}{1 - \frac{u}{m^2} x_3 (1-x_3)}.$$

В рассматриваемой нами области величины $-q^2/m^2$, $-u/m^2$ велики; пользуясь

$$\int_0^1 \frac{dx}{x} \ln(1+Nx(\mu x)) = \frac{1}{2} \ln^2 N + O(\frac{1}{N}), \quad N \gg 1,$$

получим

$$i = \frac{1}{2a} (\ell_q^2 - \ell_u^2), \quad a = q^2 - u = s+t. \quad (A.15)$$

Аналогичная процедура для \mathcal{Z} дает (удобно сначала объединить (1) и (2), а затем результат с (0))

$$\mathcal{Z} = \int \frac{d^4 k}{i\pi^2} \cdot \frac{1}{(0)(2)(q)} = - \int_0^1 dx \int_0^1 \frac{y dy}{(1-y)\lambda^2 + y^2(m^2 - ux(\mu x))}.$$

Разобьем область интегрирования по y , выбрав параметр сшивки

$$1 \gg \varepsilon \gg \frac{\lambda}{m}, \quad \frac{\lambda}{m} \rightarrow 0$$

на две области:

$$\frac{1}{2} \int_0^{\varepsilon^2} \frac{dy^2}{\lambda^2 + ay^2} + \frac{1}{a} \int_{\varepsilon^2}^1 \frac{dy}{y} = \frac{1}{2a} \ln(a/\lambda^2), \quad a = m^2 - ux(1-x).$$

При сложении вкладов этих областей параметр сшивки выпал, так что

$$\mathcal{Z} = \frac{1}{2} \left[2 \ln \frac{\lambda}{m} \int_0^1 \frac{dx}{m^2 - ux(\mu x)} - \int_0^1 \frac{dx}{m^2 - ux(\mu x)} \ln \left(1 - \frac{u}{m^2} x(1-x) \right) \right].$$

В результате

$$\mathcal{Z} = \frac{1}{2u} \left[4 \ln \frac{m}{\lambda} \ell_u + \ell_u^2 - \frac{\pi^2}{3} \right]. \quad (A.16)$$

Для интеграла

$$n = \frac{1}{t} \cdot F = \int \frac{d^4 k}{i\pi^2} \frac{1}{(0)(1)(q)},$$

получаем аналогично

$$n = - \int_0^1 dx \int_0^1 \frac{dz}{-xt + z(m^2 + tx)} = - \int_0^1 \frac{dx}{m^2 + tx} \ln \left(\frac{m^2}{-tx} \right) = \frac{1}{t} \left(f(1 + \frac{t}{m^2}) - f(1) \right), \quad (A.17)$$

где $f(x)$ – функция Спенса, $f(x) = \int_0^x \frac{dt}{t} \ln(1-t)$.

Для интеграла j тем же путем получим

$$j = \int \frac{d^4 k}{i\pi^2} \cdot \frac{1}{(0)(2)(q)} = - \int_0^1 \frac{dx}{m^2 - q^2 x(\mu x) + xt} \ln \frac{m^2 - q^2 x(\mu x)}{xt}.$$

Для вычисления этого интеграла удобно разбить область интегрирования следующим образом

$$0 < x < \varepsilon; \quad \varepsilon < x < 1-\delta, \quad 1-\delta < x < 1; \quad \delta, \varepsilon \gg \left[\frac{q^2}{m^2} \right]^{-1}; \quad \varepsilon, \delta \ll 1.$$

В результате

$$j = \frac{1}{s+u} \left[\ell_q (\ell_q - \ell_t) + \frac{1}{2} (\ell_q - \ell_t)^2 - 2f(1 - \frac{t}{q^2}) - f(1 + \frac{m^2}{t}) + f(1) \right]. \quad (A.18)$$

Рассмотрим, наконец, интеграл I . Объединяя знаменатели (1), (2), (q), а результат с (0) и проводя интегрирование по 4-импульсам петли, получим:

$$I = \int \frac{d^4 k / (n^2)}{(0)(1)(2)(q)} = \int_0^1 d\chi \delta(\Sigma \chi - 1) \int_0^1 z^2 dz \left[(1-z)^2 + z^2 (m^2 - q^2 \chi_2 \chi_3 - i \chi_1 \chi_3 + \chi_2 t) - z \chi_2 t \right]^2.$$

Выполняя интегрирование по χ_1 с помощью δ -функции и проводя явное интегрирование по χ_2 , запишем I в виде

$$I = \int_0^1 d\chi_3 (1-\chi_3) \int_0^1 \frac{z^2 dz}{[(1-z)^2 + z^2(m^2 - i \chi_3(1-\chi_3))] [(1-z)^2 + z^2(m^2 - q^2 \chi_3(1-\chi_3) + t(1-\chi_3)) - z(1-\chi_3)t]}.$$

Заметим, что в области $-i, -t, -q^2 > 0$ выражения для знаменателей знакопределены, т.е. величина I не содержит мнимой части. Выберем параметр ε для проведения z -интегрирования:

$$1 \gg \varepsilon \gg \frac{\lambda}{m}, \quad \frac{\lambda}{m} \rightarrow 0$$

$$\int_0^\varepsilon \frac{z^2 dz}{(\lambda^2 + az^2)(\lambda^2 + bz^2)} = \frac{1}{2ab} \ln \left(\frac{a\varepsilon^2}{\lambda^2} \right);$$

$$\int_\varepsilon^1 \frac{dz}{z^2(a_1 z + b)} = \frac{1}{a_1 b} \ln \frac{b}{\varepsilon(a_1 + b)}.$$

В результате выразим I в виде однократного интеграла:

$$I = -\frac{1}{t} \int_0^1 \frac{dx}{m^2 - i \chi(x)} \left\{ \frac{1}{2} \ln \frac{m^2 - i \chi(x)}{\lambda^2} - \ln \frac{m^2 - q^2 \chi(x)}{-t(\chi)} \right\}.$$

Вычисляя интегралы в области $-i \sim -q^2 \gg m^2$ получим

$$I = \frac{1}{tu} \left\{ (2 \ln \frac{m}{\lambda} + 2 \ell_t) \ell_u - \frac{\pi^2}{2} + \frac{u}{m^2} L_q^2 \right\}, \quad L_q^2 = \int_0^1 \frac{dx}{1 - \frac{q^2}{m^2} \chi(x)} \ln \left(1 - \frac{q^2}{m^2} \chi(x) \right).$$

Эта величина может быть выражена через функции Спенса:

$$I = \frac{1}{tu} \left\{ 2 \ln \frac{m}{\lambda} \cdot \ell_u - \frac{\pi^2}{6} + 2 \ell_u \ell_t - \ell_q^2 + 2 f \left(1 - \frac{q^2}{u} \right) \right\}. \quad (\text{A.19})$$

ПРИЛОЖЕНИЕ Б

ДЕТАЛИ ВЫЧИСЛЕНИЙ

Рассмотрим сначала вклад в матричный элемент M_g от диаграмм рис.2а,б:

$$-4\pi^2 i \bar{U}(P_2) \gamma_9 \left[\frac{1}{t} (\hat{p}_2 - \hat{q} + m) \Gamma_\mu \ell^m + M(\hat{p}_2 - \hat{q})(\hat{p}_2 - \hat{q} - m)^2 \hat{\ell} \right] U(P_1), \quad (\text{Б.1})$$

Воспользуемся известным выражением для вершинной функции Γ_μ в случае, когда один из фермионов и фотон реальны, а второй фермион виртуален, и выражением для массового оператора \hat{M}

$$\Gamma_\mu \ell^m = \frac{\alpha}{\pi} \left[\frac{1}{m} (e P_1) \cdot \alpha + b \cdot \hat{\ell} + \frac{1}{m^2} \hat{K}(e P_1) \cdot c + \frac{1}{m} \hat{K} \hat{\ell} \cdot d \right], \quad (\text{Б.2})$$

$$M(\hat{p}) = \frac{\alpha}{2\pi m} \left[-a + \frac{1}{m} (\hat{p} + m) g \right] (\hat{p} - m)^2,$$

где $a-g$ являются функциями инварианта $X = ((P_1 - K)^2 - m^2)/m^2$:

$$a = -\frac{1}{2(X+1)} \left(1 - \frac{2+3X}{X+1} \ell_t \right); \quad b = -1 - \ln \frac{\lambda}{m} - \frac{1}{2X} F + \frac{X+2}{4(X+1)} \ell_t;$$

$$c = -\frac{1}{X^2} F - \frac{1}{X} + \frac{1}{2(X+1)} + \frac{(2+X)(1+2X)}{2X(X+1)^2} \ell_t; \quad d = \frac{-\ell_t}{2(X+1)}; \quad g = \frac{1}{X} \left[1 + 2 \ln \frac{\lambda}{m} \right]$$

$$+ \frac{(2+X)}{2(1+X)} + \frac{X^2 - 4X - 4}{2(X+1)^2} \ell_t]; \quad F = \int_1^{t+X} \frac{dt}{t} \ln(1-t), \quad \ell_t = \ln(-t/m^2), \quad X = \frac{t}{m^2}.$$

Преобразуя матричную структуру выражения (Б.1) с помощью уравнения Дирака, запишем его в виде

$$-\frac{2d^2 c}{m} \bar{U}(P_2) \gamma_9 \left[A_1 \left(\hat{\ell} - \hat{K} \frac{(e P_1)}{(e P_1)} \right) + A_2 \frac{\hat{K} \hat{\ell}}{m} \right] U(P_1), \quad (\text{Б.3})$$

$$A_1 = \frac{1}{2(X+1)} \left(1 - \frac{X}{X+1} \ell_t \right), \quad A_2 = \frac{1}{X^2} F - \frac{(2X^2 + 3X + 2)}{2X(X+1)^2} \ell_t + \frac{1}{2(X+1)}.$$

Вклад в тензор $T_{\rho\sigma}$ находится по формуле (15) и имеет вид

$$-2A_1(H_1)_{\rho\sigma} - 2A_2(H_2)_{\rho\sigma} \quad (\text{Б.5})$$

где

$$(H_1)_{\rho\sigma} = \frac{1}{4m} \delta_p \delta_q (\gamma_y + 2\hat{P} \frac{P_{1y}}{t}) \hat{H}_{\sigma}^y, \quad (H_2)_{\rho\sigma} = \frac{1}{4m^2} \delta_p \delta_q \hat{P} \gamma_y \hat{H}_{\sigma}^y,$$

$$\hat{H}_{\sigma}^y = -(\hat{P}_1 + m) [\delta_{\sigma} \left(-\frac{2}{t} P_{1y} - \frac{2}{t} P_{2y} \right) + \frac{1}{t} \delta_y \hat{P} \delta_{\sigma} - \frac{1}{t} \delta_{\sigma} \hat{P} \delta_y] (\hat{P}_2 + m). \quad (\text{Б.5})$$

Приведем результат вычисления тензора $(H_1)_{\rho\sigma}$:

$$(H_1)_{\rho\sigma} = H_1^g \tilde{g}_{\rho\sigma} + H_1^{11} P_{1\rho} \tilde{P}_{1\sigma} + H_1^{22} P_{2\rho} \tilde{P}_{2\sigma} + H_1^{12} P_{1\rho} \tilde{P}_{2\sigma} + H_1^{21} P_{2\rho} \tilde{P}_{1\sigma} + H_1^{q1} q_{\rho} \tilde{P}_{1\sigma} + H_1^{q2} q_{\rho} \tilde{P}_{2\sigma},$$

$$H_1^g = \frac{1}{t^2} [-2m^2 s + t(s-t+2u)], \quad H_1^{11} = \frac{-2}{ts}(u+s), \quad H_1^{22} = \frac{1}{t^2 s} [-8sm^2 + 2t(q^2 + s)], \quad (\text{Б.6})$$

$$H_1^{12} = \frac{1}{t^2 s} [8m^2 s - 2t(u+t)], \quad H_1^{21} = \frac{2}{st} (q^2 + t), \quad H_1^{q1} = \frac{1}{t^2 s} (4m^2 s - 2t(s+2u)), \quad H_1^{q2} = \frac{1}{t^2 s} (4sm^2 - 2ts).$$

При вычислении (Б.6) и далее мы удерживаем лишь слагаемые, приводящие к неисчезающему при $t \rightarrow 0$ вкладу в сечение.

Заметим, что величины A_1, A_2 не зависят от "массы" фотона λ . Это есть следствие тождества Уорда $\gamma_1 = \gamma_2$, т.е. равенства констант перенормировок волновой функции и вершинного оператора.

Вклад от диаграммы рис.2в (соответствующее выражение для вершинной функции с фотоном и фермионом вне массовой поверхности в литературе отсутствует) в тензор $T_{\rho\sigma}$ можно найти по общей формуле (15), пользуясь видом интегралов $j_m, j_{m\nu}$ (А.8, А.13). Результат таков

$$\frac{1}{t} \left[-(H_3)_{\rho\sigma} j + (H_4)_{\rho\sigma} j_2 + (H_5)_{\rho\sigma} j_q - 4(H_6)_{\rho\sigma} j_g + 2(H_8)_{\rho\sigma} j_{qq} + 2(H_9)_{\rho\sigma} j_{2q} \right] \quad (\text{Б.7})$$

где

$$(H_3)_{\rho\sigma} = \frac{1}{4} \delta_p 2 \delta_q (\hat{P}_2 - \hat{q} + m) \hat{P}_2 (\hat{P}_2 - \hat{q} + m) \gamma_y \hat{H}_{\sigma}^y,$$

$$(H_4)_{\rho\sigma} = \frac{1}{4} \delta_p [-2(\hat{P}_2 - \hat{q}) \delta_q \hat{P}_2 + 4m \hat{P}_{2q} + 2m^2 \delta_q] (\hat{P}_2 - \hat{q} + m) \gamma_y \hat{H}_{\sigma}^y,$$

$$(H_5)_{\rho\sigma} = \frac{1}{4} \delta_p [-2(\hat{P}_2 - \hat{q}) \delta_p \hat{q} + 4m q_p + 2 \delta_p \hat{q} \hat{P}_2] (\hat{P}_2 - \hat{q} + m) \gamma_y \hat{H}_{\sigma}^y,$$

$$(H_6)_{\rho\sigma} = \frac{1}{4} \delta_p \delta_q (\hat{P}_2 - \hat{q} + m) \gamma_y \hat{H}_{\sigma}^y,$$

$$(H_8)_{\rho\sigma} = \frac{1}{4} \delta_p \hat{q} \delta_q \hat{q} (\hat{P}_2 - \hat{q} + m) \delta_y \hat{H}_{\sigma}^y,$$

$$(H_4)_{\rho\sigma} = (H_3)_{\rho\sigma} = 2(H_9)_{\rho\sigma}.$$

Величина H_{σ}^y приведена выше (см. (Б.5)).

Вклад, происходящий от бокс-диаграммы рис.2г, удобно разбить на два типа слагаемых. В первый входят все слагаемые из чисителя подинтегрального выражения (9г), содержащие 4-импульсы K до второй степени включительно. Его вклад в $T_{\rho\sigma}$ представляется в виде

$$\left\{ 2u H_{10} \cdot I + H_{11} \cdot I_1 + H_{12} \cdot (I_2 + I_q) + (H_{13} - H_{12}) I_q - H_{14} I_g \right. \\ \left. - H_{15} I_{11} - (H_{16} - H_{18}) I_{22} - H_{17} (I_{q1} + I_{2q}) - H_{18} (I_{12} + I_{1q} + I_{22} + I_{2q}) \right. \\ \left. - (H_{19} - H_{17} - H_{18}) I_{2q} - (H_{20} - H_{18}) I_{12} \right\}_{\rho\sigma}. \quad (\text{Б.8})$$

В выражении (Б.8) проведена перегруппировка членов таким образом, чтобы каждое из слагаемых при малых t было не более сингулярно, чем $1/t$ (учитывая, что $|t| \geq m^2 u$).

Величины H_i имеют вид:

$$(H_{10})_{\rho\sigma} = (H_6)_{\rho\sigma}; \quad (H_{11})_{\rho\sigma} = \frac{1}{4} \delta_p [2m^2 \delta_q (\hat{P}_2 - \hat{q} + m) \gamma_y + 2 \delta_q (\hat{P}_2 - \hat{q} + m) \gamma_y \hat{P}_2 \\ + 2(2m^2 - u) \delta_q \hat{P}_1 \gamma_y] \hat{H}_{\sigma}^y; \quad (H_{12})_{\rho\sigma} = \frac{1}{4} \delta_p [2m^2 \delta_q (\hat{P}_2 - \hat{q} + m) \gamma_y + 2 \hat{P}_1 \hat{P}_2 \delta_q \cdot \\ \cdot (\hat{P}_2 - \hat{q} + m) \gamma_y + 2(2m^2 - u) \delta_q \hat{P}_2 \gamma_y] \hat{H}_{\sigma}^y; \quad (H_{13})_{\rho\sigma} = \frac{1}{4} \delta_p [2 \delta_q (\hat{P}_2 - \hat{q} + m) \cdot \\ \cdot \gamma_y \hat{q} \hat{P}_2 + 2 \hat{P}_1 \hat{q} \delta_q (\hat{P}_2 - \hat{q} + m) \gamma_y + 2(2m^2 - u) \delta_q \hat{q} \gamma_y] \hat{H}_{\sigma}^y;$$

$$\begin{aligned}
 (H_{14})_{\rho\sigma} &= \frac{1}{4} \hat{\delta}_p \left[-4 \hat{P}_1 \gamma_y \gamma_y - 4 \gamma_y \gamma_y \hat{P}_2 + 4 \gamma_y (\hat{P}_2 - \hat{q}) \gamma_y + 16 m g_{\rho\nu} \right] \hat{H}_{\sigma}^y; \\
 (H_{15})_{\rho\sigma} &= \frac{1}{4} \hat{\delta}_p \left[2m^2 (\gamma_p \hat{P}_1 \gamma_y - \gamma_p \gamma_y \hat{P}_2) + 4 P_{1\rho} \gamma_p \hat{P}_1 \hat{P}_2 - 2m \hat{P}_1 \gamma_y (\hat{P}_2 - \hat{q}) \gamma_y + 4m^3 g_{\rho\nu} \right] \hat{H}_{\sigma}^y; \\
 (H_{16})_{\rho\sigma} &= \frac{1}{4} \hat{\delta}_p \left[2m^2 (\gamma_p \hat{P}_2 \gamma_y - \hat{P}_1 \gamma_y \hat{P}_2) + 4 P_{2\rho} \hat{P}_1 \hat{P}_2 \gamma_y - 2m \gamma_y (\hat{P}_2 - \hat{q}) \gamma_p \hat{P}_2 + 4m^3 g_{\rho\nu} \right] \hat{H}_{\sigma}^y; \\
 (H_{17})_{\rho\sigma} &= \frac{1}{4} \hat{\delta}_p \left[-2q^2 (\hat{P}_1 \gamma_y \gamma_y + \gamma_p \gamma_y \hat{P}_2) + 4 q_p \cdot \hat{P}_1 \hat{q} \gamma_y + 4 q_v \cdot \gamma_p \hat{q} \hat{P}_2 + 4m^2 g_{\rho\nu} - 2 \hat{q} \gamma_y (\hat{P}_2 - \hat{q}) \gamma_p \hat{q} \right] \hat{H}_{\sigma}^y; \\
 (H_{18})_{\rho\sigma} &= \frac{1}{4} \hat{\delta}_p \left[2m^2 \gamma_p \hat{q} \gamma_y + 2 \hat{P}_1 \hat{q} \gamma_p \hat{P}_1 \gamma_y + 2 \gamma_p \hat{P}_1 \gamma_y \hat{q} \hat{P}_2 + 2 \gamma_p \hat{q} \gamma_y \hat{P}_1 \hat{P}_2 - 2 \hat{q} \gamma_y (\hat{P}_2 - \hat{q}) \gamma_p \hat{P}_1 \right. \\
 &\quad \left. - 2 \hat{P}_1 \gamma_y (\hat{P}_2 - \hat{q}) \gamma_p \hat{q} - 4m(u+t) g_{\rho\nu} \right] \hat{H}_{\sigma}^y; \\
 (H_{19})_{\rho\sigma} &= \frac{1}{4} \hat{\delta}_p \left[2m^2 \gamma_p \hat{q} \gamma_y + 2 \hat{P}_1 \hat{P}_2 \gamma_p \hat{q} \gamma_y + 2 \gamma_p \hat{P}_2 \gamma_y \hat{P}_1 \hat{P}_2 - 2 \hat{P}_1 \gamma_y (\hat{P}_2 - \hat{q}) \gamma_p \hat{q} + 4m(u+s) g_{\rho\nu} \right] \hat{H}_{\sigma}^y; \\
 (H_{20})_{\rho\sigma} &= \frac{1}{4} \hat{\delta}_p \left[2m^2 \gamma_p \hat{P}_2 \gamma_y + 2 \hat{P}_1 \hat{P}_2 \gamma_p \hat{P}_1 \gamma_y + 2 \gamma_p \hat{P}_2 \gamma_y \hat{P}_1 \hat{P}_2 - 2 \hat{P}_1 \gamma_y (\hat{P}_2 - \hat{q}) \gamma_p \hat{P}_2 \right. \\
 &\quad \left. - 2 \hat{P}_2 \gamma_y (\hat{P}_2 - \hat{q}) \gamma_p \hat{P}_1 + 2m^2 \gamma_p \hat{P}_1 \gamma_y + 4m(2m^2 - u) g_{\rho\nu} \right] \hat{H}_{\sigma}^y.
 \end{aligned}$$

Вклад второго типа отвечает учету кубических по 4-импульсу K слагаемых

$$-2 \cdot \int \frac{d^4 K}{c t^2} \frac{\frac{1}{4} \hat{\delta}_p \hat{K} \gamma_y \hat{K} \gamma_p \hat{K} \hat{H}_{\sigma}^y}{(0)(1)(2)(q)} \quad (B.9)$$

Можно, однако, обойтись без вычисления интегралов от тензоров третьего ранга, которые имеют сложную структуру^{*)}. Действительно, пользуясь явным видом \hat{H}_{σ}^y (Б.5), числитель подинтегрального выражения в правой части (Б.9) можно представить в виде:

$$\begin{aligned}
 &K^2 \left\{ \left(\frac{4m^2}{t} \gamma_p \hat{P}_1 + \frac{8}{t} P_{1\rho} \hat{P}_2 \hat{K} \right) (2P_{1\sigma} - \hat{q} \gamma_{\sigma}) + \left(\frac{4m^2}{s} \gamma_p \hat{K} + \frac{8}{s} (K_P_2) \gamma_p \hat{P}_1 \right) (2P_{1\sigma} + \gamma_p \hat{q}) \right\} \\
 &- 16(K_P_2)(K_P_1) K_9 \left(\frac{1}{s} (2P_{1\sigma} + q_{1\sigma}) + \frac{1}{t} (2P_{2\sigma} - q_{1\sigma}) \right) - \frac{16(K_P_2)}{s} K_9 ((Kq) P_{1\sigma} \\
 &- K_9 (q P_1)) + \frac{16}{t} (K_P_1) K_9 ((Kq) P_{2\sigma} - K_9 (q P_2)). \tag{B.10}
 \end{aligned}$$

^{*)} Авторы благодарят А.А.Ахундова и Д.Ю.Бардина за указание на эту возможность.

Из (Б.10) и соотношений (см. (A.3))

$$2K_P_1 = (0)-(1), \quad 2K_P_2 = (0)-(2), \quad 2Kq = (q)-(2)-t,$$

видно, что при вычислении выражений (Б.9) достаточно приведенных в Приложении А интегралов. Результат для вклада в $T_{\rho\sigma}$ имеет вид

$$\begin{aligned}
 &- [t_1 \cdot K_1 + t_9 \cdot K_2 + t_g \cdot K_3 + t_{11} \cdot K_4 + t_{22} \cdot K_5 + t_{qq} \cdot K_6 + t_{12} \cdot K_7 + t_{19} \cdot K_8 \\
 &+ t_{2q} \cdot K_9 + t_{1g} \cdot K_{10} + t_{22} \cdot K_{11} + t_{1q} \cdot K_{12} + t_g \cdot K_{13} + t_{qq} \cdot K_{14} + t_{2q} \cdot K_{15}] \tag{B.11}
 \end{aligned}$$

где

$$K_1 = \frac{2u}{s} c t_1 + 4 \left(\frac{u}{s} - \frac{b}{t} \right) t_2 + \frac{4}{t} (u-t) t_4 + \frac{4u}{s} t_6;$$

$$K_2 = -\frac{2c}{s} b t_1 - \frac{8}{s} b t_2 + 8t_4 - \frac{4}{s} b t_6;$$

$$K_3 = 4 \left(\frac{c}{s} + \frac{b}{t} \right) t_1 + \frac{16}{t} t_3 + \frac{8}{s} t_6 - \frac{8}{t} t_7; \quad K_4 = 4 \left(\frac{b}{t} - \frac{2u}{s} \right) t_2 + \frac{4}{t} (t-u) t_4;$$

$$K_5 = \frac{4c}{s} t_3 + \frac{4}{s} (s-u) t_5; \quad K_6 = 8(t_6 - t_7); \quad K_7 = 4 \left(\frac{b}{s} t_2 + \frac{t-u}{t} t_3 + \frac{c}{s} t_4 + \frac{b}{t} t_5 \right);$$

$$K_8 = \frac{8}{s} (2b+t) t_2 - 8t_4 + \frac{4b}{t} t_6 + \frac{4}{t} (t-u) t_7; \quad K_9 = -8t_3 + 8t_5 + \frac{4}{s} (s-u) t_6$$

$$+ \frac{4c}{s} t_7; \quad K_{10} = -\frac{4c}{s} t_1 - \frac{8}{s} t_6; \quad K_{11} = 4 \left(-\frac{c}{s} t_3 + \frac{b}{s} t_5 - \frac{b}{s} t_6 + \frac{c}{s} t_7 \right);$$

$$K_{12} = -\frac{4}{s} (b+2t) t_2 + \frac{4c}{s} t_4; \quad K_{13} = -\frac{4b}{t} t_1 - \frac{16}{t} t_3 + \frac{8}{t} t_7;$$

$$K_{14} = 8t_7; \quad K_{15} = 8t_3.$$

Здесь мы использовали обозначения

$$\begin{aligned}
 b &= s+u, \quad c = u+t, \quad t_1 = \tilde{g}_{\rho\sigma}, \quad t_2 = P_{1\rho} \tilde{P}_{1\sigma}, \quad t_3 = P_{2\rho} \tilde{P}_{2\sigma}, \quad t_4 = P_{1\rho} \tilde{P}_{2\sigma}, \\
 t_5 &= P_{2\rho} \tilde{P}_{1\sigma}, \quad t_6 = q_{\rho} \tilde{P}_{1\sigma}, \quad t_7 = q_{\rho} \tilde{P}_{2\sigma}.
 \end{aligned}$$

ЛИТЕРАТУРА:

Окончательное выражение для $T_{90}^{(t)}$ дается суммой (Б.4), (Б.7), (Б.8), (Б.11). Явное вычисление для предельного случая $-t \sim S \sim -q^2 \gg m^2$ проведено нами вручную. Вычисление с точностью до членов, дающих исчезающий при $m \rightarrow 0$ вклад, проведено с помощью программы аналитических вычислений *REDUCE*.

1. П.И.Фомин. ЖЭТФ, 1958, т.35, в.2, стр. 707-718.
2. В.Н.Грибов. ЯФ, 1967, т.5, в.2, стр. 399-405.
3. G.t'Hooft and M.Veltman Nucl. Phys. B153 (1979) p.365-401.

Э.А.Кураев, Н.П.Меренков, В.С.Фадин

КОМПТОНОВСКИЙ ТЕНЗОР С ТЯЖЕЛЫМ ФОТОНОМ

Препринт
№ 86-39

Работа поступила - 23 декабря 1985 г.

Ответственный за выпуск - С.Г.Попов
Подписано к печати 14.02-1986 г. № II66I
Формат бумаги 60x90 I/16 Усл.2,2 печ.л., 1,8 учетно-изд.л.
Тираж 290 экз. Бесплатно. Заказ № 39.

Ротапринт ИЯФ СО АН СССР, г.Новосибирск, 90